

一类3-缠绕的Jones多项式

杨晓雨

辽宁师范大学，辽宁 大连

收稿日期：2022年9月21日；录用日期：2022年10月14日；发布日期：2022年10月25日

摘要

选定了3-缠绕的一种定向方式,结合Giller的房间理论给出任意两个3-缠绕的复合的Jones多项式。接着,通过研究计算得到了一类特殊3-缠绕的Jones多项式的递推公式以及由其闭包所形成的链环的Jones多项式。

关键词

Jones多项式, 不变量, 3-缠绕

The Jones Polynomials of a Class of 3-Tangles

Xiaoyu Yang

Liaoning Normal University, Dalian Liaoning

Received: Sep. 21st, 2022; accepted: Oct. 14th, 2022; published: Oct. 25th, 2022

Abstract

An unusual orientation of 3-tangles is given, and the Jones polynomial of the concatenation of two 3-tangles is given by Giller's room theory. Then, the recursion formula of the Jones polynomials of a special kind of 3-tangles is obtained by studying and calculating. In addition, the formula to obtain the Jones polynomial of the links obtained from their closure is given.

Keywords

Jones Polynomial, Invariant, 3-Tangle

Copyright © 2022 by author(s) and Hans Publishers Inc.
 This work is licensed under the Creative Commons Attribution International License (CC BY 4.0).
<http://creativecommons.org/licenses/by/4.0/>



Open Access

1. 引言

纽结理论研究纽结和链环在连续形变下保持不变的特性，是拓扑学中引人入胜的一支。等价分类问题是纽结理论的中心，人们通过寻找纽结不变量来解决纽结的等价问题。纽结多项式[1][2][3][4]是常见的纽结不变量之一，而 Jones 多项式是重要的纽结多项式，它为研究纽结与链环的手征性提供了有力的工具。

近几年，不同定向的 3-缠绕的多项式成为了数学界的一个关注点且有了大量的研究成果[5]-[10]。在文献[6]中，Cabrera 给出了 3-缠绕的一种定向方式，在此基础上研究了 5 种不同的方法闭合 3-缠绕得到纽结或链环，给出了公式计算两个 3-缠绕的复合的闭包的 Conway 多项式。文献[9]给出了 3-缠绕的一种常规定向，也即 3-辫子，并在此基础上研究了 3-辫子的复合的六种不同闭包方法得到的链环的 Conway 多项式。文献[10]给出了 3-缠绕不同于文献[9]的新的定向，并利用 Giller 的房间理论计算了它们的 Conway 多项式和 Alexander 多项式。

本文在前人的研究基础上，利用 Giller 的房间理论进一步研究了一类特殊 ε^{2k} 的 Jones 多项式。在预备知识我们将介绍一些有关 3-缠绕和纽结 Jones 多项式的一些基本概念；在第二部分，我们将通过 Giller 的房间理论给出任意两个 3-缠绕的复合的 Jones 多项式；第三部分，通过研究计算得到一类特殊的 3-缠绕 ε^{2k} 的 Jones 多项式的递推公式，并进一步计算由其闭包所形成的链环的 Jones 多项式。

2. 预备知识

2.1. 3-缠绕的基本概念

定义 2.1 [10] n -缠绕指一个偶对 (B^3, T) ，其中 B^3 是一个三维实心球， $T \subset B^3$ 是一个具有非空边界的—维嵌入子流形，它包含 n 个弧(即 n 个同胚于 $[0,1]$ 的子集)，并满足 $\partial T = T \cap \partial B^3$ 。

本文只讨论 3-缠绕，且记为 T 而不是 (B^3, T) 。

定义 2.2 [11] n -辫子是由 n 条线组成的集合，这些线都连接在顶部和底部的水平线上(如图 1)，沿着任意一根线从顶部移动到底部时方向总是向下的，即每根线与两根水平线之间的任何水平面相交且只相交一次。 n -辫子是 n -缠绕的一种特殊情况。

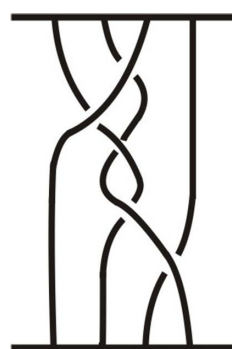
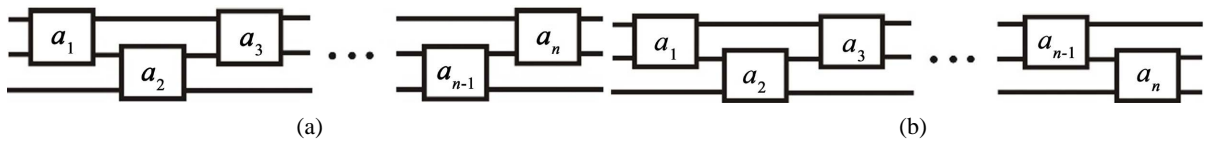


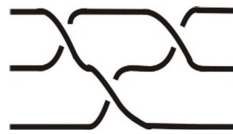
Figure 1. A braid
图 1. 辫子

**Figure 2.** 3-braid $T(a_1, a_2, \dots, a_n)$ with (a) n odd and (b) n even**图 2.** 3-辫子 $T(a_1, a_2, \dots, a_n)$ 其中(a) n 为奇数(b) n 为偶数

本文研究的是 3-辫子，并使用符号 $T(a_1, a_2, \dots, a_n)$ [10] 表示，其中 a_i, n 均为整数， $i = 1, 2, \dots, n$ 。如图 2 所示， a_i 表示交叉点的类型和数量，规定：若 $a_i = 0$ ，则 3-辫子无交叉点，否则

$$\begin{array}{c} \text{---} \\ \text{---} \end{array} = \begin{cases} \overbrace{\text{---} \cdots \text{---}}^{\infty}, & \text{若 } a_i > 0, \\ \underbrace{\text{---} \cdots \text{---}}_{\infty}, & \text{若 } a_i < 0, \end{cases} \quad \begin{array}{c} \overbrace{\text{---} \cdots \text{---}}^{\infty}, & \text{若 } a_i > 0, \\ \overbrace{\text{---} \cdots \text{---}}_{\infty}, & \text{若 } a_i < 0, \end{cases}$$

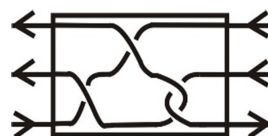
定义 2.3 [10] 如图 3 所示 3-辫子 $T(1, -1, 1)$ 是一个半扭转，记为 ε 。

**Figure 3.** 3-braid $T(1, -1, 1)$ **图 3.** 3-辫子 $T(1, -1, 1)$

定义 2.4 [12] 房间 R 是 R^2 中的一个连通域，它具有相同数量的有向的进出绳。本文讨论的是如图 4 所示的 3-房间。

**Figure 4.** The 3-room R
图 4. 3-房间 R

定义 2.5 [12] 所有连通房间进出绳的集合，用 $S(R)$ 表示。 $S(R)$ 的一个元素称为 R 的居住者。(图 5)

**Figure 5.** An inhabitant of the 3-room R
图 5. 3-房间 R 的一个居住者

事实上，带有由进出绳诱导的方向的 R 的居住者即为一个有向 3-缠绕。

定义 2.6 [12]在 $S(R)$ 中通过连接的方式定义一个记为“ \cdot ”的运算(如图 6)，将构造一些链环。

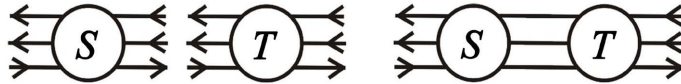


Figure 6. Inhabitants S and T in $S(R)$ and their concatenation $S \cdot T$

图 6. $S(R)$ 中的居住者 S 和 T 以及它们的复合 $S \cdot T$

2.2. 纽结的 Jones 多项式

有向链环定义的一个多项式不变量是 Jones 多项式 $V(L)$ 。这个多项式可以通过以下拆接关系[11]来计算：

$$1) \quad t^{-1}V(L_+) - tV(L_-) = \left(t^{\frac{1}{2}} - t^{-\frac{1}{2}} \right) V(L_0),$$

$$2) \quad V(\bigcirc) = 1,$$

其中是 \bigcirc 平凡纽结， L_+, L_-, L_0 是三个只在一个交叉点处不同的链环。(图 7)

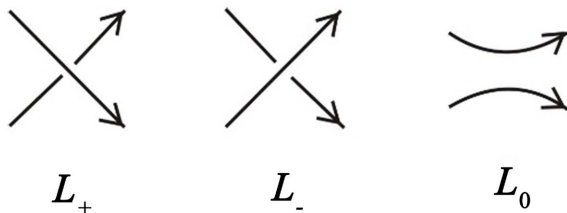


Figure 7. Skein triple
图 7. 拆接关系

引理 2.1 [13]若 L 是具有 c 个分支的平凡链环，则 $V(L) = \delta^{c-1}$ ，其中 $\delta = -\left(t^{-\frac{1}{2}} + t^{\frac{1}{2}} \right)$ 。

引理 2.2 [14]设 L 为任意有向链环，则 $V(L \cup \underbrace{\bigcirc \cup \cdots \cup \bigcirc}_{c \uparrow}) = \delta^c V(L)$ ，其中 $\delta = -\left(t^{-\frac{1}{2}} + t^{\frac{1}{2}} \right)$ 。

3. 3-缠绕的 Jones 多项式

在 $S(R)$ 中有 6 种不同的方式连接 R 的进绳和出绳。图 8 是连接 R 的进出绳后具有最少交叉点数的居住者，用 χ_i 表示，其中 $i = 1, 2, \dots, 6$ 。这样的居住者的集合 $\{\chi_i, i = 1, 2, \dots, 6\}$ 称为 $S(R)$ 的基居住者集[10]。



Figure 8. Basic inhabitants of $S(R)$

图 8. $S(R)$ 的基居住者

设 F 是 $Z[\sqrt{t}]$ 的分式域， $V(R)$ 表示 $S(R)$ 在 F 上生成的自由向量空间， $N(R)$ 是

$t^{-1}T_+ - tT_- - \left(t^{\frac{1}{2}} - t^{-\frac{1}{2}}\right)T_0$ 在 F 上生成的子空间，其中 (T_+, T_-, T_0) 是一个拆接关系。记 $L(R)$ 是商向量空间 $\frac{V(R)}{N(R)}$ 。特别地，图 8 所示的基居住者是 $L(R)$ 的基。因此， $L(R)$ 中的每个元素都可以唯一地表示成基居住者的线性组合。

对任意的 $T \in S(R)$ ，通过对图 T 反复应用 Jones 多项式的拆接关系，直到只剩下基居住者为止，就得到了 T 的 Jones 多项式。因此

$$V(T) = \sum_{i=1}^6 p_i V(\chi_i), \text{ 其中 } p_i \in \mathbb{Z}[\sqrt{t}].$$

定理 3.1 设 T_1, T_2 是两个 3-缠绕，且

$$V(T_1) = \sum_{i=1}^6 p_i V(\chi_i), \quad V(T_2) = \sum_{i=1}^6 q_i V(\chi_i),$$

那么

$$\begin{aligned} V(T_1 \cdot T_2) &= [p_1 q_1 + p_3 q_3 t^2] V(\chi_1) + \left[p_1 q_2 + p_2 q_1 - p_2 q_2 \left(t^{-\frac{1}{2}} + t^{\frac{1}{2}} \right) + p_2 q_4 + p_3 q_4 t^2 + p_5 q_2 \right. \\ &\quad \left. + p_5 q_3 t^2 - p_5 q_4 \left(t^{\frac{1}{2}} + t^{\frac{5}{2}} \right) \right] V(\chi_2) + \left[p_1 q_3 + p_3 q_1 + p_3 q_3 \left(t^{\frac{3}{2}} - t^{\frac{1}{2}} \right) \right] V(\chi_3) \\ &\quad + \left[p_1 q_4 + p_3 q_2 + p_3 q_4 \left(t^{\frac{3}{2}} - t^{\frac{1}{2}} \right) + p_4 q_1 - p_4 q_2 \left(t^{-\frac{1}{2}} + t^{\frac{1}{2}} \right) + p_4 q_4 + p_6 q_2 + p_6 q_3 t^2 \right. \\ &\quad \left. - p_6 q_4 \left(t^{\frac{1}{2}} + t^{\frac{5}{2}} \right) \right] V(\chi_4) + \left[p_1 q_5 + p_2 q_3 - p_2 q_5 \left(t^{-\frac{1}{2}} + t^{\frac{1}{2}} \right) + p_2 q_6 + p_3 q_6 t^2 + p_5 q_1 \right. \\ &\quad \left. + p_5 q_3 \left(t^{\frac{3}{2}} - t^{\frac{1}{2}} \right) + p_5 q_5 - p_5 q_6 \left(t^{\frac{1}{2}} + t^{\frac{5}{2}} \right) \right] V(\chi_5) + \left[p_1 q_6 + p_3 q_5 + p_3 q_6 \left(t^{\frac{3}{2}} - t^{\frac{1}{2}} \right) \right. \\ &\quad \left. + p_4 q_3 - p_4 q_5 \left(t^{-\frac{1}{2}} + t^{\frac{1}{2}} \right) + p_4 q_6 + p_6 q_1 + p_6 q_3 \left(t^{\frac{3}{2}} - t^{\frac{1}{2}} \right) + p_6 q_5 - p_6 q_6 \left(t^{\frac{1}{2}} + t^{\frac{5}{2}} \right) \right] V(\chi_6) \end{aligned}$$

证明：对 T_1, T_2 中的 T_1 应用 Jones 多项式的拆接公式，我们有

$$V(T_1 \cdot T_2) = \sum_{i=1}^6 p_i V(\chi_i \cdot T_2) = \sum_{i=1}^6 p_i \left(\sum_{j=1}^6 q_j V(\chi_i \cdot \chi_j) \right)$$

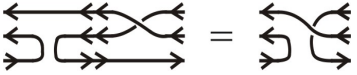
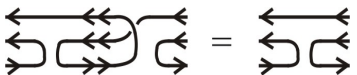
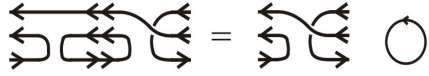
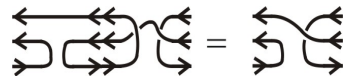
计算 $V(\chi_i \cdot \chi_j)$ ，并将多项式化简后即可得结果。下面我们计算 $\chi_2 \cdot \chi_j$ 的情况，其他情况可类似计算。
(表 1)

Table1. $V(\chi_2 \cdot \chi_j)$

表 1. $V(\chi_2 \cdot \chi_j)$

$\chi_2 \cdot \chi_j$	对应图	对应 Jones 多项式
$\chi_2 \cdot \chi_1$		$V(\chi_2 \cdot \chi_1) = V(\chi_2)$
$\chi_2 \cdot \chi_2$		$V(\chi_2 \cdot \chi_2) = -\left(t^{\frac{1}{2}} + t^{-\frac{1}{2}}\right)V(\chi_2)$

Continued

$\chi_2 \cdot \chi_3$		$V(\chi_2 \cdot \chi_3) = V(\chi_5)$
$\chi_2 \cdot \chi_4$		$V(\chi_2 \cdot \chi_4) = V(\chi_2)$
$\chi_2 \cdot \chi_5$		$V(\chi_2 \cdot \chi_5) = -\left(t^{\frac{1}{2}} + t^{-\frac{1}{2}}\right)V(\chi_5)$
$\chi_2 \cdot \chi_6$		$V(\chi_2 \cdot \chi_6) = V(\chi_5)$

4.3-缠绕 ε^{2k} 以及链环 $C(\varepsilon^{2k})$ 的 Jones 多项式

4.1.3-缠绕 ε^{2k} 的 Jones 多项式

定理 4.1 记 $A = t^{\frac{1}{2}} - t^{-\frac{1}{2}}$, 则对任意的 $k \in N$, 有 $V(\varepsilon^{2k}) = \sum_{i=1}^6 \alpha_{i_k} V(\chi_i)$, 其中

$$\begin{aligned}\alpha_{1_0} &= 1, \quad \alpha_{2_0} = \alpha_{3_0} = \alpha_{4_0} = \alpha_{5_0} = \alpha_{6_0} = 0, \\ \alpha_{1_k} &= t^{-2} \alpha_{1_{k-1}} + At^{-1} \alpha_{3_{k-1}}, \quad \alpha_{2_k} = -At^{-1} \alpha_{1_{k-1}} + \alpha_{2_{k-1}}, \quad \alpha_{3_k} = At^{-3} \alpha_{1_{k-1}} + (t^{-2} + A^2 t^{-2}) \alpha_{3_{k-1}}, \\ \alpha_{4_k} &= -At^{-1} \alpha_{3_{k-1}} + \alpha_{4_{k-1}}, \quad \alpha_{5_k} = -At^{-1} \alpha_{3_{k-1}} + (2t^{-2} + A^2 t^{-2} + 1 - t^{-3} - t^{-1}) \alpha_{5_{k-1}}, \\ \alpha_{6_k} &= -At^{-3} \alpha_{1_{k-1}} - A^2 t^{-2} \alpha_{3_{k-1}} + (2t^{-2} + A^2 t^{-2} + 1 - t^{-3} - t^{-1}) \alpha_{6_{k-1}}\end{aligned}$$

证明: 通过对 k 作归纳法证明该定理。 $k=0$ 时, $\varepsilon^{2k} = \chi_1$, 则有 $V(\varepsilon^{2k}) = V(\chi_1)$ 。此时 $\alpha_{1_0} = 1$, $\alpha_{2_0} = \alpha_{3_0} = \alpha_{4_0} = \alpha_{5_0} = \alpha_{6_0} = 0$ 。 $k=1$ 时, 经过计算可以得到

$$V(\varepsilon^{2k}) = V(\varepsilon^2) = t^{-2} V(\chi_1) - \left(t^{\frac{1}{2}} - t^{-\frac{1}{2}} \right) t^{-1} V(\chi_2) + \left(t^{\frac{1}{2}} - t^{-\frac{1}{2}} \right) t^{-3} V(\chi_3) - \left(t^{\frac{1}{2}} - t^{-\frac{1}{2}} \right) t^{-3} V(\chi_6)$$

$$\text{此时 } \alpha_{1_1} = t^{-2}, \quad \alpha_{2_1} = -At^{-1}, \quad \alpha_{3_1} = At^{-3}, \quad \alpha_{4_1} = \alpha_{5_1} = 0, \quad \alpha_{6_1} = -At^{-3}.$$

现在假设 $k-1$ 时定理 4.1 成立。对于 k 时, 应用定理 3.1, 我们有

$$\begin{aligned}V(\varepsilon^{2k}) &= V(\varepsilon^{2(k-1)} \cdot \varepsilon^2) \\ &= [\alpha_{1_{k-1}} \alpha_{1_1} + \alpha_{3_{k-1}} \alpha_{3_1} t^2] V(\chi_1) + \left[\alpha_{1_{k-1}} \alpha_{2_1} + \alpha_{2_{k-1}} \alpha_{1_1} - \alpha_{2_{k-1}} \alpha_{2_1} \left(t^{-\frac{1}{2}} + t^{\frac{1}{2}} \right) + \alpha_{2_{k-1}} \alpha_{4_1} \right. \\ &\quad \left. + \alpha_{3_{k-1}} \alpha_{4_1} t^2 + \alpha_{5_{k-1}} \alpha_{2_1} + \alpha_{5_{k-1}} \alpha_{3_1} t^2 - \alpha_{5_{k-1}} \alpha_{4_1} \left(t^{\frac{1}{2}} + t^{\frac{5}{2}} \right) \right] V(\chi_2) \\ &\quad + \left[\alpha_{1_{k-1}} \alpha_{3_1} + \alpha_{3_{k-1}} \alpha_{1_1} + \alpha_{3_{k-1}} \alpha_{3_1} \left(t^{\frac{3}{2}} - t^{\frac{1}{2}} \right) \right] V(\chi_3) + [\alpha_{1_{k-1}} \alpha_{4_1} + \alpha_{3_{k-1}} \alpha_{2_1} + \alpha_{3_{k-1}} \alpha_{4_1} \left(t^{\frac{3}{2}} - t^{\frac{1}{2}} \right) \\ &\quad + \alpha_{4_{k-1}} \alpha_{1_1} - \alpha_{4_{k-1}} \alpha_{2_1} \left(t^{-\frac{1}{2}} + t^{\frac{1}{2}} \right) + \alpha_{4_{k-1}} \alpha_{4_1} + \alpha_{6_{k-1}} \alpha_{2_1} + \alpha_{6_{k-1}} \alpha_{3_1} t^2 - \alpha_{6_{k-1}} \alpha_{4_1} \left(t^{\frac{1}{2}} + t^{\frac{5}{2}} \right)] V(\chi_4)\end{aligned}$$

$$\begin{aligned}
& + \left[\alpha_{1_{k-1}} \alpha_{5_1} + \alpha_{2_{k-1}} \alpha_{3_1} - \alpha_{2_{k-1}} \alpha_{5_1} \left(t^{-\frac{1}{2}} + t^{\frac{1}{2}} \right) + \alpha_{2_{k-1}} \alpha_{6_1} + \alpha_{3_{k-1}} \alpha_{6_1} t^2 + \alpha_{5_{k-1}} \alpha_{1_1} + \alpha_{5_{k-1}} \alpha_{3_1} \left(t^{\frac{3}{2}} - t^{\frac{1}{2}} \right) \right. \\
& \quad \left. + \alpha_{5_{k-1}} \alpha_{5_1} - \alpha_{5_{k-1}} \alpha_{6_1} \left(t^{\frac{1}{2}} + t^{\frac{5}{2}} \right) \right] V(\chi_5) + \left[\alpha_{1_{k-1}} \alpha_{6_1} + \alpha_{3_{k-1}} \alpha_{5_1} + \alpha_{3_{k-1}} \alpha_{6_1} \left(t^{\frac{3}{2}} - t^{\frac{1}{2}} \right) + \alpha_{4_{k-1}} \alpha_{3_1} \right. \\
& \quad \left. - \alpha_{4_{k-1}} \alpha_{5_1} \left(t^{-\frac{1}{2}} + t^{\frac{1}{2}} \right) + \alpha_{4_{k-1}} \alpha_{6_1} + \alpha_{6_{k-1}} \alpha_{1_1} + \alpha_{6_{k-1}} \alpha_{3_1} \left(t^{\frac{3}{2}} - t^{\frac{1}{2}} \right) + \alpha_{6_{k-1}} \alpha_{5_1} - \alpha_{6_{k-1}} \alpha_{6_1} \left(t^{\frac{1}{2}} + t^{\frac{5}{2}} \right) \right] V(\chi_6)
\end{aligned}$$

将 α_i ($i=1, 2, \dots, 6$) 的值代入后, 有

$$\begin{aligned}
V(\varepsilon^{2k}) & = \left[\alpha_{1_{k-1}} t^{-2} + \alpha_{3_{k-1}} A t^{-3} t^2 \right] V(\chi_1) + \left[\alpha_{1_{k-1}} (-A t^{-1}) + \alpha_{2_{k-1}} t^{-2} - \alpha_{2_{k-1}} (-A t^{-1}) \left(t^{-\frac{1}{2}} + t^{\frac{1}{2}} \right) + \alpha_{5_{k-1}} (-A t^{-1}) \right. \\
& \quad \left. + \alpha_{5_{k-1}} A t^{-3} t^2 \right] V(\chi_2) + \left[\alpha_{1_{k-1}} A t^{-3} + \alpha_{3_{k-1}} t^{-2} + \alpha_{3_{k-1}} A t^{-3} \left(t^{\frac{3}{2}} - t^{\frac{1}{2}} \right) \right] V(\chi_3) + \left[\alpha_{3_{k-1}} (-A t^{-1}) + \alpha_{4_{k-1}} t^{-2} \right. \\
& \quad \left. - \alpha_{4_{k-1}} (-A t^{-1}) \left(t^{-\frac{1}{2}} + t^{\frac{1}{2}} \right) + \alpha_{6_{k-1}} (-A t^{-1}) + \alpha_{6_{k-1}} A t^{-3} t^2 \right] V(\chi_4) + \left[\alpha_{2_{k-1}} A t^{-3} + \alpha_{2_{k-1}} (-A t^{-3}) \right. \\
& \quad \left. + \alpha_{3_{k-1}} (-A t^{-3}) t^2 + \alpha_{5_{k-1}} t^{-2} + \alpha_{5_{k-1}} A t^{-3} \left(t^{\frac{3}{2}} - t^{\frac{1}{2}} \right) - \alpha_{5_{k-1}} (-A t^{-3}) \left(t^{\frac{1}{2}} + t^{\frac{5}{2}} \right) \right] V(\chi_5) + \left[\alpha_{1_{k-1}} (-A t^{-3}) \right. \\
& \quad \left. + \alpha_{3_{k-1}} (-A t^{-3}) \left(t^{\frac{3}{2}} - t^{\frac{1}{2}} \right) + \alpha_{4_{k-1}} A t^{-3} + \alpha_{4_{k-1}} (-A t^{-3}) + \alpha_{6_{k-1}} t^{-2} + \alpha_{6_{k-1}} A t^{-3} \left(t^{\frac{3}{2}} - t^{\frac{1}{2}} \right) \right. \\
& \quad \left. - \alpha_{6_{k-1}} (-A t^{-3}) \left(t^{\frac{1}{2}} + t^{\frac{5}{2}} \right) \right] V(\chi_6) \\
& = \left[t^{-2} \alpha_{1_{k-1}} + A t^{-1} \alpha_{3_{k-1}} \right] V(\chi_1) + \left[-A t^{-1} \alpha_{1_{k-1}} + \alpha_{2_{k-1}} \right] V(\chi_2) + \left[A t^{-3} \alpha_{1_{k-1}} + (t^{-2} + A^2 t^{-2}) \alpha_{3_{k-1}} \right] V(\chi_3) \\
& \quad + \left[-A t^{-1} \alpha_{3_{k-1}} + \alpha_{4_{k-1}} \right] V(\chi_4) + \left[-A t^{-1} \alpha_{3_{k-1}} + (2t^{-2} + A^2 t^{-2} + 1 - t^{-3} - t^{-1}) \alpha_{5_{k-1}} \right] V(\chi_5) \\
& \quad + \left[-A t^{-3} \alpha_{1_{k-1}} - A^2 t^{-2} \alpha_{3_{k-1}} + (2t^{-2} + A^2 t^{-2} + 1 - t^{-3} - t^{-1}) \alpha_{6_{k-1}} \right] V(\chi_6)
\end{aligned}$$

此时

$$\begin{aligned}
\alpha_{1_k} & = t^{-2} \alpha_{1_{k-1}} + A t^{-1} \alpha_{3_{k-1}}, \quad \alpha_{2_k} = -A t^{-1} \alpha_{1_{k-1}} + \alpha_{2_{k-1}}, \quad \alpha_{3_k} = A t^{-3} \alpha_{1_{k-1}} + (t^{-2} + A^2 t^{-2}) \alpha_{3_{k-1}}, \\
\alpha_{4_k} & = -A t^{-1} \alpha_{3_{k-1}} + \alpha_{4_{k-1}}, \quad \alpha_{5_k} = -A t^{-1} \alpha_{3_{k-1}} + (2t^{-2} + A^2 t^{-2} + 1 - t^{-3} - t^{-1}) \alpha_{5_{k-1}}, \\
\alpha_{6_k} & = -A t^{-3} \alpha_{1_{k-1}} - A^2 t^{-2} \alpha_{3_{k-1}} + (2t^{-2} + A^2 t^{-2} + 1 - t^{-3} - t^{-1}) \alpha_{6_{k-1}}
\end{aligned}$$

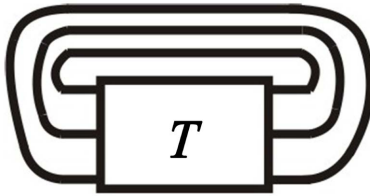
定理 4.1 得证。

4.2. 链环 $C(\varepsilon^{2k})$ 的 Jones 多项式

利用 3-缠绕可以构造一些链环。设 T 是一个 3-缠绕, 如图 9 所示方式闭合 3-缠绕可以得到纽结或链环。记为 $C(T)$ 。

定理 4.2 设 T 是一个 3-缠绕且 $V(T) = \sum_{i=1}^6 p_i V(\chi_i)$, 那么

$$V(C(T)) = \left(t^{-\frac{1}{2}} + t^{\frac{1}{2}} \right)^2 p_1 - \left(t^{-\frac{1}{2}} + t^{\frac{1}{2}} \right) p_2 - \left(t^{-\frac{1}{2}} + t^{\frac{1}{2}} \right) p_3 + p_4 + p_5 - \left(t^{\frac{5}{2}} + t^{\frac{1}{2}} \right) p_6.$$

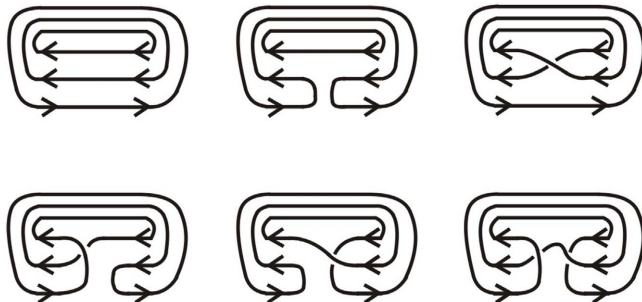
Figure 9. Link $C(T)$ 图 9. 链环 $C(T)$

证明：由 $V(T) = \sum_{i=1}^6 p_i V(\chi_i)$ ，有 $V(C(T)) = \sum_{i=1}^6 p_i V(C(\chi_i))$ 。如图 10，我们可以看到， $i=1$ 时， $C(\chi_i)$ 是分支数为 3 的平凡链环； $i=2,3$ 时， $C(\chi_i)$ 是分支数为 2 的平凡链环； $i=4,5$ 时， $C(\chi_i)$ 为平凡结。由引理 2.1 有 $V(C(\chi_1)) = \delta^2 = \left(t^{-\frac{1}{2}} + t^{\frac{1}{2}}\right)^2$ ， $V(C(\chi_2)) = V(C(\chi_3)) = \delta = -\left(t^{-\frac{1}{2}} + t^{\frac{1}{2}}\right)$ ， $V(C(\chi_4)) = V(C(\chi_5)) = 1$ 。此外，对 $C(\chi_6)$ 应用拆接关系有

$$t^{-1}V(\text{图 10}) - tV(\text{图 10}) = (t^{\frac{1}{2}} - t^{-\frac{1}{2}})V(\text{图 10}),$$

得到 $V(C(\chi_6)) = -t^{\frac{5}{2}} - t^{\frac{1}{2}}$ 。因此，

$$V(C(T)) = \left(t^{-\frac{1}{2}} + t^{\frac{1}{2}}\right)^2 p_1 - \left(t^{-\frac{1}{2}} + t^{\frac{1}{2}}\right) p_2 - \left(t^{-\frac{1}{2}} + t^{\frac{1}{2}}\right) p_3 + p_4 + p_5 - \left(t^{\frac{5}{2}} + t^{\frac{1}{2}}\right) p_6.$$

Figure 10. Link $C(\chi_i)$ ($i=1, 2, \dots, 6$)图 10. 链环 $C(\chi_i)$ ($i=1, 2, \dots, 6$)

定理 4.3 链环 $C(\varepsilon^{2k})$ 的 Jones 多项式为

$$V(C(\varepsilon^{2k})) = \left(t^{-\frac{1}{2}} + t^{\frac{1}{2}}\right)^2 \alpha_{1_k} - \left(t^{-\frac{1}{2}} + t^{\frac{1}{2}}\right) \alpha_{2_k} - \left(t^{-\frac{1}{2}} + t^{\frac{1}{2}}\right) \alpha_{3_k} + \alpha_{4_k} + \alpha_{5_k} - \left(t^{\frac{5}{2}} + t^{\frac{1}{2}}\right) \alpha_{6_k}.$$

证明：由定理 4.1 有 $V(\varepsilon^{2k}) = \sum_{i=1}^6 \alpha_{i_k} V(\chi_i)$ 。再由定理 4.2 可得

$$V(C(\varepsilon^{2k})) = \left(t^{-\frac{1}{2}} + t^{\frac{1}{2}}\right)^2 \alpha_{1_k} - \left(t^{-\frac{1}{2}} + t^{\frac{1}{2}}\right) \alpha_{2_k} - \left(t^{-\frac{1}{2}} + t^{\frac{1}{2}}\right) \alpha_{3_k} + \alpha_{4_k} + \alpha_{5_k} - \left(t^{\frac{5}{2}} + t^{\frac{1}{2}}\right) \alpha_{6_k}.$$

5. 结语

本文主要讨论了一类 3-缠绕的 Jones 多项式。通过 Giller 的房间理论给出两个 3-缠绕的复合的 Jones 多项式。其次，给出一类特殊 3-缠绕的 Jones 多项式计算公式，并在此基础上计算了 3-缠绕闭包方法得到的链环的 Jones 多项式。

参考文献

- [1] Alexander, J.W. (1928) Topological Invariants of Knots and Links. *Transactions of the American Mathematical Society*, **30**, 275-306. <https://doi.org/10.1090/S0002-9947-1928-1501429-1>
- [2] Conway, J.H. (1970) An Enumeration of Knots and Links and Some of Their Algebraic Properties. *Computational Problems in Abstract Algebra*, **22**, 329-358. <https://doi.org/10.1016/B978-0-08-012975-4.50034-5>
- [3] Jones, V.F.R. (1985) A Polynomial Invariants for knots via von Neumann Algebras. *Bulletin of the American Mathematical Society*, **12**, 103-111. <https://doi.org/10.1090/S0273-0979-1985-15304-2>
- [4] Freyd, P., Yetter, D., Hoste, J., et al. (1985) A New Polynomial Invariant of Knots and Links. *Bulletin of the American Mathematical Society*, **12**, 239-246. <https://doi.org/10.1090/S0273-0979-1985-15361-3>
- [5] Cabrera-Ibarra, H. (2003) On the Classification of Rational 3-Tangles. *Journal of Knot Theory and Its Ramifications*, **12**, 921-946. <https://doi.org/10.1142/S021821650300286X>
- [6] Cabrera-Ibarra, H. (2004) Conway Polynomial of the Closures of Oriented 3-String Tangles. *Boletín de la Sociedad Matemática Mexicana*, **10**, 55-62.
- [7] Cabrera-Ibarra, H. (2004) Results on the Classification of Rational 3-Tangles. *Journal of Knot Theory and Its Ramifications*, **13**, 175-192. <https://doi.org/10.1142/S021821650400307X>
- [8] Cabrera-Ibarra, H. and Lizárraga, D.A.L. (2010) An Algorithm Based on 3-Braids to Solve Tangle Equations Arising in the Action of Gm DNA Invertase. *Applied Mathematics and Computation*, **216**, 95-106. <https://doi.org/10.1016/j.amc.2010.01.007>
- [9] Lizárraga, D.A., Hernández, L.Y. and Cabrera-Ibarra, H. (2012) Computing the Conway Polynomial of Several Closures of Oriented 3-Braids. *Topology and Its Applications*, **159**, 1195-1209. <https://doi.org/10.1016/j.topol.2011.11.032>
- [10] de los Angeles Guevara Hernández, M. and Cabrera-Ibarra, H. (2019) Infinite Families of Prime Knots with $\text{alt}(K) = 1$ and Their Alexander Polynomials. *Journal of Knot Theory and Its Ramifications*, **28**, Article ID: 1950010. <https://doi.org/10.1142/S021821651950010X>
- [11] Adams, C. (1994) The Knot Book. W. H. Freeman and Company, New York.
- [12] Giller, C.A. (1982) A Family of Links and the Conway Calculus. *Transactions of the American Mathematical Society*, **270**, 75-109. <https://doi.org/10.1090/S0002-9947-1982-0642331-X>
- [13] 姜伯驹. 绳圈的数学[M]. 大连: 大连理工大学出版社, 2011.
- [14] Murasugi, K. (2007) Knot Theory and Its Applications. Springer Science & Business Media, Berlin. <https://doi.org/10.1007/978-0-8176-4719-3>